

تحلیل زمانی-مکانی محیط رسویی نهشته‌های کربناته کرتاسه بالایی در منطقه بجستان (شمال بلوك لوت)

زهرا رضازاده^۱، عباس صادقی^{(۲)*}، محبوبه حسینی بزرگی^۳ و احمد رضا خزاعی^۴

- دانشجوی دکتری گروه حوضه‌های رسویی و نفت، دانشکده علوم زمین، دانشگاه شهید بهشتی، تهران
- استاد گروه حوضه‌های رسویی و نفت، دانشکده علوم زمین، دانشگاه شهید بهشتی، تهران
- دانشیار گروه حوضه‌های رسویی و نفت، دانشکده علوم زمین، دانشگاه شهید بهشتی، تهران
- دانشیار گروه زمین‌شناسی، دانشکده علوم، دانشگاه بیرجند

تاریخ دریافت: ۹۹/۰۱/۲۶

تاریخ پذیرش: ۹۹/۰۴/۰۹

چکیده

در این پژوهش میکروفاسیس، محیط رسویی و مدل رسویی نهشته‌های کربناته کرتاسه بالایی در منطقه بجستان در چهاربرش چاچول، شهرک صنعتی، مزار و بهاباد مورد مطالعه و تحلیل قرار گرفت. این نهشته‌ها در برش‌های متفاوت با ضخامت‌های متفاوت رخنمون پیدا کرده است. بر اساس بافت رسویی، شواهد پتروگرافی و فوئای موجود در این نهشته‌ها شش میکروفاسیس کربناته متعلق به سه کمریند رخسارهای لاغون، سد و دریای باز کم‌عمق واقع در رمپ داخلی شناسایی شد. مقایسه میکروفاسیس‌ها و کمریندهای رخسارهای برش‌های مختلف، روند افزایش ملایم و تدریجی عمق را برای سنومانین و افزایش محسوسی را در سانتونین-کامپانین پیشین نسبت به سنومانین نشان می‌دهند. همچنین عمق نهشت این رسوبات در دو برش چاچول و شهرک صنعتی کم‌عمق‌تر و کم‌ویس مشابه بوده و به نسبت دو برش مزار و بهاباد عمق بیشتری را نشان می‌دهند. بر این اساس امتداد خط ساحل کم‌ویس شرق، شمال شرق-غرب، جنوب غرب پیشنهاد می‌شود. ماسه‌ای شدن برخی رخساره‌ها نیز می‌تواند حاکی از فعالیت‌های زمین‌ساختی در امتداد گسل‌های بی‌سنگی منطقه باشد.

واژه‌های کلیدی: میکروفاسیس، کرتاسه بالایی، سنومانین، سانتونین-کامپانین پیشین، بجستان.

مقدمه

منطقه بجستان در حاشیه‌ی شمالی بلوك لوت و مرز جنوبی آن به فرونژست جازموریان محصور شده است (آقانباتی، ۱۳۸۵).

مناطق وسیعی از بلوك لوت توسط سنگ‌های ولکانیکی پالئوزن، نئوزن و کواترنری و درصد کمی توسط سنگ‌های رسوبی در برگرفته شده‌اند (Assadi and Kolahdani, 2016; Saadat and Stern, 2014). با این وجود بیشترین درصد رخنمون‌های رسویی منطقه بجستان مربوط به مزوژوئیک و بیشتر کرتاسه هستند که پورلطیفی (۱۳۸۱)

واقع شده‌است. بلوك لوت، با طول حدود ۹۰۰ کیلومتر، شرقی‌ترین بخش خردقاره‌ی ایران مرکزی است. مرز شرقی آن با گسل نهیندان و حوضه‌ی فلیشی شرق ایران و مرز غربی آن با گسل نایبند و بلوك طبس مشخص می‌شود. در روی نقشه‌ی زمین‌ساخت ایران (Stoklin and Nabavi, 1973) مرز شمالی این بلوك به فروافتادگی جنوب کاشمر

* نویسنده مرتبط: a-sadeghi@sbu.ac.ir

مورد مطالعه برداشته شود. درواقع هدف از انجام این پژوهش بررسی تغییرات رخسارهای حاصل از تغییرات عمق، ورود رسوبات سیلیسی آواری در مکان و زمان و رسیدن به مدل رسویی مناسب این نهشته‌ها در منطقه مورد نظر می‌باشد.

موقعیت جغرافیایی

- برش‌های مورد مطالعه در جنوب غرب استان خراسان رضوی و در گستره شهرستان بجستان واقع شده‌اند (شکل‌های ۱ و ۲). راههای دسترسی و مختصات جغرافیایی برش‌های مورد مطالعه به شرح زیر می‌باشند:

- برش چاچول: این برش در شمال شرق شهرستان بجستان و کوه چاچول واقع شده است. در کیلومتر ۱۸ جاده بجستان-گناباد، در سمت چپ جاده، جاده فرعی و خاکی خارفیوزی قرار دارد که به کوه چاچول منتهی می‌شود. این برش در گستره نقشه ۱:۱۰۰۰۰۰ بجستان (سازمان زمین‌شناسی و اکتشافات معدنی کشور) واقع شده است. مختصات جغرافیایی قاعده این برش $34^{\circ} 34' 58''$ عرض شمالی و $23^{\circ} 19' 58''$ طول شرقی می‌باشد (شکل‌های ۱ و ۲).

- برش شهرک صنعتی: این برش در کیلومتر پنج جاده بجستان-بردسکن و در نزدیکی شهرک صنعتی شهرستان بجستان در گستره نقشه ۱:۱۰۰۰۰۰ بجستان قرار دارد. مختصات جغرافیایی قاعده این برش $34^{\circ} 35' 53''$ عرض شمالی و $23^{\circ} 12' 58''$ طول شرقی می‌باشد (شکل‌های ۱ و ۲).

- برش مزار: این برش در دو کیلومتری جنوب غرب شهرستان بجستان و جنوب غرب روستای مزار انتخاب شده است و در گستره نقشه زمین‌شناسی ۱:۱۰۰۰۰۰ فردوس قرار دارد. مختصات جغرافیایی قاعده این برش $34^{\circ} 28' 21''$ عرض شمالی و $23^{\circ} 07' 58''$ طول شرقی می‌باشد (شکل‌های ۱ و ۲).

- برش بهاباد: برش بهاباد در شش کیلومتری جنوب غرب شهرستان بجستان و جنوب غرب روستای مزار واقع شده است. این برش در گستره نقشه زمین‌شناسی ۱:۱۰۰۰۰۰ فردوس قرار دارد. مختصات جغرافیایی قاعده این برش $34^{\circ} 28' 57''$ عرض شمالی و $23^{\circ} 07' 06''$ طول شرقی

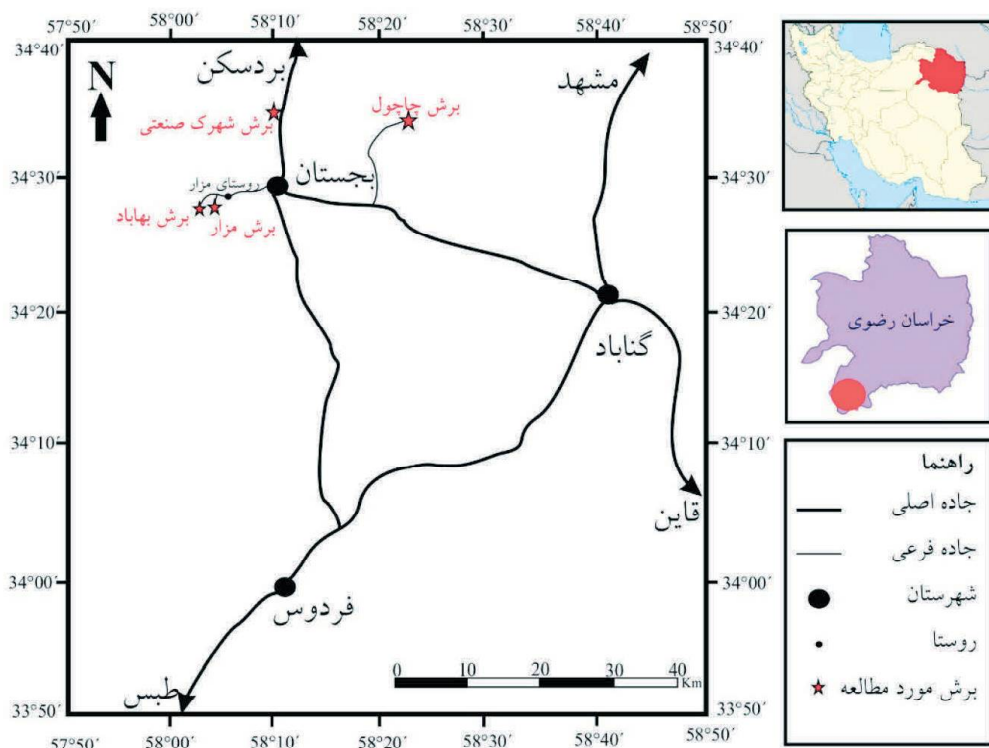
آن‌ها را به کرتاسه پایینی و عاشوری و همکاران (۱۳۸۶) به کرتاسه بالای نسبت داده‌اند.

برخلاف نهشته‌های کرتاسه زیرین که دارای شرایط کم‌وبیش یکسان رسویی است، حوضه‌های رسویی کرتاسه بالایی از یکدیگر جدا و دارای شرایط خاص خود بوده‌اند. درنتیجه نهشته‌های کرتاسه بالایی ویژگی‌های رخسارهای یکسانی ندارند. از این‌رو واحدهای سنگ چینهای کرتاسه بالایی ایران، به جز زاگرس و کپه داغ، نام‌گذاری نشده‌اند و یا نامهای محلی دارند. تکرار حرکات زمین ساختی مرتبط با رخدادهای قابل قیاس با چرخه ساب هرسی‌نین سبب ایجاد وقفعهای رسویی و چرخه‌های فرسایشی درون سازندی در نهشته‌های کرتاسه بالایی ایران شده‌است (آقانباتی، ۱۳۸۵). نهشته‌های رسویی کرتاسه بالایی در منطقه بجستان شامل کنگلومرا، ماسه‌سنگ، سنگ‌آهک، سنگ‌آهک ماسه‌ای، مارن و آهک‌های ضخیم لایه هستند که در نقشه زمین‌شناسی منطقه توسط پورلطیفی (۱۳۸۱) به صورت دو واحد K_L و K_m (کرتاسه زیرین) و توسط عاشوری و همکاران (۱۳۸۶) در قالب سه واحد K_1 ، K_2 و K_3 (کرتاسه بالایی) معرفی شده‌اند.

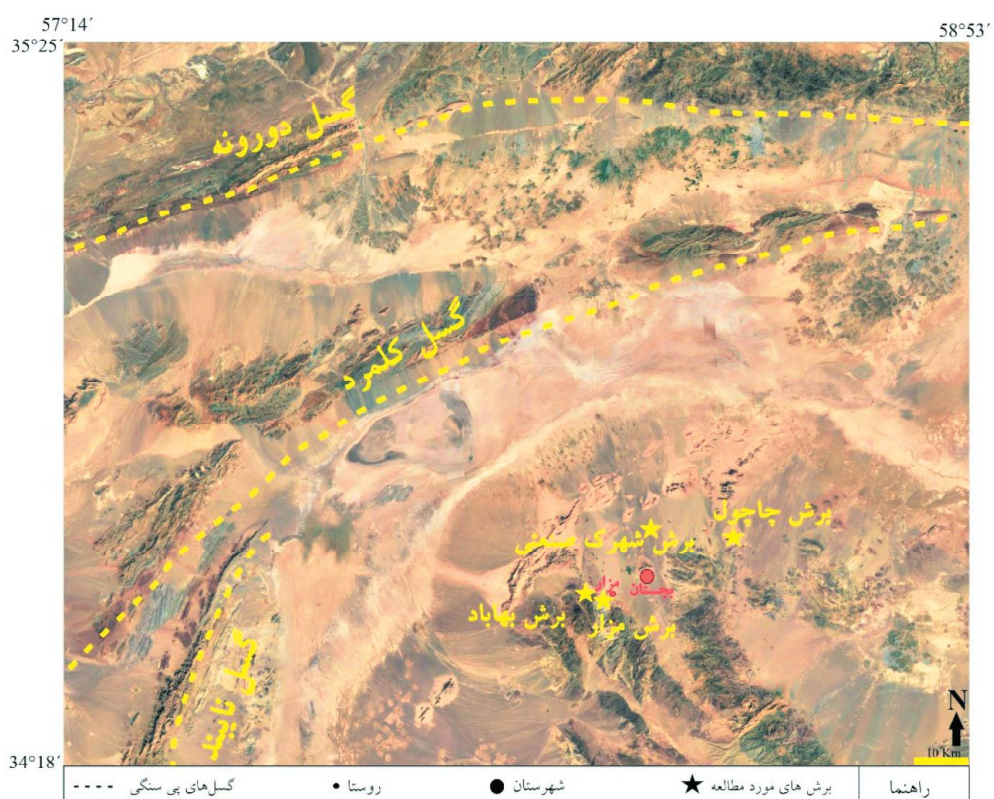
ضخامت نهشته‌های کربناته کرتاسه بالایی در منطقه بجستان به طور کامل متغیر است، به طوری که در شمال شرق بجستان و برش چاچول ۱۸۲ متر، شمال بجستان و برش شهرک صنعتی ۷۷ متر، جنوب غرب بجستان و برش مزار ۶۰/۶ متر و در برش بهاباد ۱۵۲/۴۸ متر از آن رخمنون شده است. فصل مشترک این رسوبات با رسوبات قدیمی‌تر به صورت هم‌شیب و مرز بالای آن فرسایشی است.

تغییرات شدید رخسارهای، نبود مطالعات جامع، نبود نام‌گذاری در قالب واحدهای لیتواستراتیگرافی رسمی و نیز ابهام در تاریخچه و روند تکامل محیط‌های کرتاسه بالایی در منطقه مورد نظر، اهمیت مطالعات محیط رسویی دیرینه را برای این نهشته‌ها دوچندان کرده است. در همین راستا چهار برش چاچول، بهاباد، مزار و شهرک صنعتی در منطقه بجستان با هدف شناسایی میکروفارسیس‌ها و محیط رسویی برای مطالعه و مقایسه جانبی آن‌ها با یکدیگر انتخاب شد تا گامی برای رسـم جغرافیای دیرینه کرتاسه پسین در منطقه

زهرا رضازاده و همکاران



شکل ۱. موقعیت جغرافیایی برش‌های مورد مطالعه (موسسه جغرافیایی و کارتوگرافی گیتاشناسی، ۱۳۹۸)



شکل ۲. عکس ماهواره‌ای منطقه مورد مطالعه و موقعیت برش‌های مورد مطالعه

می‌باشد (شکل‌های ۱ و ۲).

روش مطالعه

در مرحله نخست، برش‌های فوق در گستره مورد مطالعه انتخاب و مورد مطالعات صحرایی قرار گرفتند. نمونه‌برداری براساس تغییرات لیتوژئیکی و رخسارهای در جهت عمود بر امتداد لایه‌ها صورت گرفت. در این پژوهش تعداد ۳۰۲ مقطع نازک از مجموع ۴۱۸ متر ضخامت رسوبات کرتاسه بالایی تهیه شد که ۱۱۶ نمونه به برش بهباد، ۷۴ نمونه به برش چاچول، ۶۲ نمونه به برش مزار و ۳۸ نمونه به برش شهرک صنعتی تعلق دارد.

همچنین نامگذاری سنگ‌های آهکی به روش (Dunham, 1962) صورت گرفت. رخسارهای برش‌های مورد مطالعه با کمریند رخسارهای و میکروفاسیس‌های (Flugel, 2010) و لیتوفاسیس‌ها با تقسیم‌بندی (Miall, 2000) مورد مقایسه قرار گرفتند. رنگ‌آمیزی مقاطع نازک به روش (Dickson, 1965) توسط محلول آلیزارین قرمز و فروسیانید پتابسیم برای تفکیک انواع کانی‌های کربناته در آزمایشگاه دانشگاه شهید بهشتی انجام شد. در پایان مدل رسویی منطقه مورد مطالعه رسم شد.

میکروفاسیس‌ها و محیط رسویی

این پژوهش به منظور شناسایی میکروفاسیس‌ها و محیط رسویی نهشته‌های کربناته کرتاسه بالایی در منطقه بجستان انجام شده است. مطالعه مقاطع نازک نهشته‌های کربناته کرتاسه بالایی برش‌های مورد مطالعه منجر به شناسایی شش میکروفاسیس کربناته شده است که مربوط به سه کمریند رخسارهای لagon، سد واقع در رمپ داخلی و دریایی باز کم‌عمق هستند.

علاوه بر بررسی نهشته‌های کربناته کرتاسه بالایی در منطقه مورد مطالعه، با توجه به وجود یک واحد آذرآواری در دو برش بهباد و چاچول و ارزش این واحد در تطابق بین ستون‌ها، برآن شدیم تا در ابتدا به شرح مختصر مشاهدات مربوط به این واحد و نهشته‌های روی این واحد توفی و همچنین ماسه‌سنگ‌های زیر آن پرداخته شود و سپس میکروفاسیس‌های کربناته معرفی شوند.

واحدهای لیتوژئیکی و لیتوفاسیس‌های غیرکربناته

A1: کنگلومرا-ماسه‌سنگ

نهشته‌های کرتاسه بالایی در دو برش بهباد و چاچول با یک واحد کنگلومرا-ماسه‌سنگ آغاز می‌شوند که با توجه به ضخامت کم کنگلومرا و ماسه‌سنگ‌ها (برش چاچول سه متر و برش بهباد در مجموع ۷/۵ متر)، آن‌ها را در یک لیتوفاسیس معرفی می‌کنیم. در دو برش‌های دیگر به دلیل پوشیده بودن قاعده برش، این واحد قبل بررسی نمی‌باشد. این واحد دارای تنابوی از کنگلومرا و ماسه‌سنگ است. کنگلومرای این واحد قرمز تا ارغوانی رنگ و ضخیم لایه، از لحاظ فابریک اغلب اوتونکنگلومرا (گاهی پاراکنگلومرا)، همراه با ساختارهای کانالی در قاعده، دانه پشتیبان، توده‌ای و دارای کد رخسارهای Gem است (شکل ۲-a). این کنگلومرا دارای قطعاتی در اندازه‌های متفاوت (بین ۲۰ سانتی‌متر تا یک سانتی‌متر) با گردش‌گی خوب، جورش‌گی به نسبت ضعیف و از لحاظ جنس، پلی‌میکتیک است. قلوه‌ها بیشتر از جنس ماسه‌سنگ و سنگ‌آهک هستند. سیمان این کنگلومرا بیشتر کربناته (کلسیت و دلومیت آهن‌دار) است. اطراف قلوه‌ها را اکسید آهن می‌پوشاند. لایه‌های ماسه‌سنگی همراه این کنگلومراها در واحد موردنظر نیز قرمز تا ارغوانی رنگ و اندازه آن‌ها متوسط تا خیلی ریزدانه هستند. این ماسه‌سنگ‌ها در مشاهدات صحرایی به صورت متوسط تا نازک لایه با ساختارهای کانالی و لایه‌بندی مورب عدسی (کد رخسارهای St و Sh) دیده می‌شوند (شکل ۲-b). با توجه به مطالعه مقاطع نازک تهیه شده، ماسه‌سنگ‌های ذکر شده از نوع لیتارنایت تا ساب‌لیتارنایت متوسط تا خوب جورشده و نیمه‌زاویه‌دار تا گردشده هستند. (شکل‌های ۲-c, ۲-d).

در صد فلدسپات در این ماسه‌سنگ‌ها پایین است و لیتیک‌ها بیشتر از نوع چرتی، شیلی و چرت‌های دگرگون شده هستند. لیتیک‌های رسویی در حال متلاشی شدن هم دیده می‌شود که سنگ مادر رسویی-دگرگونی حاصل از فرسایش کوهزنی و چرخه مجدد رسویی را تداعی می‌کنند. سیمان در این ماسه‌سنگ‌ها کربناته و از جنس کلسیت و دلومیت است که در بعضی نقاط در اطراف دانه‌ها خورده‌گی ایجاد کرده است. ماسه‌سنگ‌های ذکر شده دارای حدود ۱۰ درصد زمینه

قابل مشاهده است، وجود میان لایه‌های ظرفی ژیپس و درصد جزئی قطعات فسیلی به صورت شکسته شده، می‌تواند به عنوان شاخص محیط سوپراتایdal تا اینترتایدال در نظر گرفته شود. این رخساره در برش‌های بهاباد، شهرک صنعتی و چاچول مشاهده شد. در برش شهرک صنعتی و چاچول، وجود شیل آهکی ژیپس دار در این واحد می‌تواند تاییدی بر آن باشد که محیط رسوبی رسوبات برش شهرک صنعتی و چاچول نسبت به برش بهاباد به خشکی نزدیک‌تر است.

A4: مارن حاوی دوکفه‌ای

این واحد شامل مارن خاکستری روشن تا نخودی رنگ با سطح تازه خاکستری رنگ و لامیناسیون مشخص (کد رخساره‌ای F1) است (شکل ۳-۱). این مارن حاوی فسیل فراوان شامل دوکفه‌ای کوچک، استراکد، قطعات رودیست، برآکریوپودا و خاربیوست می‌باشد. این فاسیس در برش بهاباد و چاچول دیده می‌شود. در برش چاچول ضخامت این واحد و فراوانی دوکفه‌ای‌ها بیشتر است. در برش بهاباد ضخامت این نهشته‌ها کمتر و دارای میان لایه‌های آهکی و فراوانی بیشتر خاربیوست‌ها و برآکریوپودها نسبت به برش چاچول می‌باشد. این واحد با توجه به واحدهای آهکی موجود در آن و محتوى ماکروفسیلی به دو سمت سد یعنی لاغون و دریاچه باز کم عمق نسبت داده شده است. در برش بهاباد با توجه به وجود میان لایه‌های آهکی متعلق به دریاچه باز کم عمق و کanal جزو مدى¹ و همچنین فسیل فراوان خاربیوست و رودیست این واحد به دریاچه باز کم عمق و در برش چاچول این واحد با توجه به مجاورت با واحدهای شیلی- ماسه‌ای ژیپس دار، افزایش فاحش محتوى دوکفه‌ای و کاهش چشمگیر خاربیوست و رودیست به محیط لاغون نسبت داده شدند.

میکروfasیس‌های کربناته

B1: وکستون/مادستون میلیولیددار سیلیتی در این میکروfasیس قطعات فسیلی ۳۰-۱۰ درصد مقطع نازک را تشکیل می‌دهند که اغلب فرامینیفرهای بنتیک و بهخصوص میلیولیدها، مقدار کمی استراکدها و جلیکها هستند. فضای داخلی بعضی از فسیل‌ها با اکسید آهن پر

هستند. با این حال با توجه به شواهد واضح از متلاشی شدن دانه‌های خردمنگی رسوبی و نیز جورشیدگی و گردشیدگی به نسبت خوب دانه‌ها به نظر می‌رسد که منشا زمینه در این ماسه‌سنگ‌ها کم و بیش دیاژنزی بوده و بلوغ بافتی آن‌ها قبل از دیاژنز مچور تا سابق مچور ارزیابی می‌شود. با توجه به مشاهده کanal، رنگ قرمز نهشته‌ها، جورشیدگی و گردشیدگی به نسبت خوب ماسه‌سنگ‌ها و فابریک دانه‌پشتیبان کنگلومراها این نهشته‌ها به محیط قاره‌ای رودخانه‌ای تا حد واسط نسبت داده می‌شوند (Nichols, 2009).

A2: آذرآواری‌ها

این واحد شامل توف ضخیم لایه و متراکم با سطح هوازده سبزتا خاکستری تیره و سطح شکست تازه سبز تیره تا دودی رنگ است (شکل ۳-۰). لایه بندی این توف‌ها موازی لایه‌های بالا و پایین آن‌ها است و گسترش جانبی خوبی دارد. این نمونه‌ها بر اساس مطالعه مقاطع نازک با فراوانی شیشه در زمینه و همچنین وجود بلورهای اتمورف تا اتمورف شکسته شده فلدسپات (شکل ۳-۰ و g) کریستال ویتریک توف نام‌گذاری می‌شوند (Tucker, 2001). با توجه به موقعیت چینه‌شناسی در برش‌های چاچول و بهاباد و تعداد اندک و شکسته شده قطعات فسیلی، این واحد در محیط دریابی نهشته شده است.

A3: جزر رخساره‌های مخلوط هستند ولی واحدهای A4 با توجه به این‌که، تفکیک این واحدها بر اساس ویژگی‌های صحرایی انجام شده است، به جای معرفی در بخش میکروfasیس در این بخش توصیف می‌شوند.

A3: مارن ژیپس‌دار

این واحد از مارن‌های صورتی تا قرمز رنگ با میان لایه‌های ظرفی ژیپس (کد رخساره‌ای E) تا سیلیستون (کد رخساره‌ای F1) و شیل‌های آهکی ژیپس دار متغیر هستند (شکل ۳-۱). قطعات سیلیسی در سیلیستون‌ها بیشتر کوارتز بوده و دانه‌های کربناته این نمونه‌ها با توجه به رنگ‌آمیزی مقاطع نازک اغلب کلسیت و مقدار کمتری دلومیت و دلومیت آهن دار هستند. این رخساره دارای درصد بالای پیریت است. سیمان کربناته به صورت کلسیت و دلومیت

1. Tidal inlet



شکل ۳. لیتوفاسیس‌ها و پتروفاسیس‌های غیر کربناته، a) کنگلومرا دانه پشتیبان و توده‌ای (کد رخسارهای Gcm)، واحد A1، (b) ماسه‌سنگ (کد رخسارهای Sh) واحد A1 (c,d) ماسه‌سنگ لیتارنایت واحد A1 در نور معمولی (c) و پلازیزه (d)، e) واحد آنژوواری A2، f,G، (f) کریستال ویتریک توف واحد A2 در نور معمولی (f) و پلازیزه (g)، (h) واحد A3، مارن ژپس‌دار (کد رخسارهای Fl)، i) واحد A4، مارن خاکستری حاوی فسیل دوکفه‌ای (کد رخسارهای Fl)

۳۰ درصد و اینتراکلاست‌ها ۱۰ درصد و پلوئیدها کمتر از ۱۰ درصد این میکروفاسیس را تشکیل می‌دهند. در این میکروفاسیس تنوع فرامینیفرهای بنتیک زیاد است و فراوانی قطعات رو دیستی کم می‌شود. فضای داخلی بعضی از فسیل‌ها با اکسید آهن پر شده است. در این میکروفاسیس کمتر از پنج درصد ماسه‌های کوارتزی به صورت مونوکریستالین با خاموشی مستقیم وجود دارد. در بعضی بخش‌ها (اغلب به دلیل نئومورفیسم) این میکروفاسیس به گرینستون نزدیک می‌شود (شکل ۴- b). این میکروفاسیس در هر چهار برش

شده است. ۱۰-۱۵ درصد مقطع نازک را کوارتز با اندازه کمتر از ۵/۰ میلی‌متر، مونوکریستالین و با خاموشی مستقیم دربرمی‌گیرد (شکل ۴- a). این میکروفاسیس در برش شهرک صنعتی و بهاباد وجود دارد. در برش شهرک صنعتی درصد کوارتز و قطعات فسیلی بیشتر است. این میکروفاسیس متعلق به RMF 17 و کمریند رخسارهای لاغون است (شکل ۶).

B2: وکستون/پکستون بایوکلاست، اینتراکلاست‌دار قطعات فسیلی که اغلب شامل فرامینیفرهای بنتیک و مقدار کمتری جلبک، استراکد و قطعات رو دیستی هستند،

هستند و ۳۰ درصد مقطع را دربرمی‌گیرند. اینترالاستها ۱۰ درصد این میکروفاسیس را تشکیل می‌دهند. کمتر از پنج درصد میکریت در زمینه سنگ وجود دارد و مابقی مقطع را سیمان اسپاری تشکیل می‌دهد (شکل ۴-۲). این میکروفاسیس در سه برش مزار، شهرک صنعتی و چاچول وجود دارد. در برش شهرک صنعتی درصد سیمان اسپاری بیشتر و قطعات فسیلی کمتر است. این میکروفاسیس متعلق به RMF 27 و کمریندرخسارهای بخش جلویی سد^۲ واقع در رمپ داخلی است.

B6: وکستون/پکستون بايوکلاستدار ماسه‌ای
در این میکروفاسیس قطعات فسیلی شامل فرامینیفرهای بنتیک، استراکدها، قطعات رو دیستی، جلبک سبز، قطعات آکینوئید، بریوزوئر و سرپولا هستند و ۱۰-۳۵ درصد این میکروفاسیس را تشکیل می‌دهند. کمتر از پنج درصد پلوئید و پنج درصد سیمان اسپاری دیده می‌شود. ماسه‌های کوارتزی به صورت مونوکریستالین با خاموشی مستقیم ۱۰-۱۵ درصد وجود دارند (شکل ۴-۳). این میکروفاسیس در هر چهار برش مورد مطالعه وجود دارد و متعلق به RMF 18 و کمریندرخسارهای دریای باز کم عمق تا کanal جزر و مدی است.

بحث

با توجه به این که نهشته‌های مورد مطالعه متعلق به بخش‌های کم عمق و نزدیک به ساحل پلت فرم کربناته هستند و رخساره‌های عمیق دریای باز مشاهده نشده‌اند نمی‌توان شواهدی مانند واریزه کربناته یا سد حاشیه‌ای^۴ را بررسی کرد بنابراین علی‌رغم وجود شواهد قطعی محیط رمپ، با توجه به وجود میکروفاسیس گرینستون اثید، پلوئید و بايوکلاستدار در دو برش چاچول و شهرک صنعتی، بهترین محیط پیشنهادی برای نهشته شدن میکروفاسیس‌های مورد مطالعه، محیط رمپ کربناته می‌باشد. با توجه به موارد فوق و میکروفاسیس‌های شناسایی شده، تمام میکروفاسیس‌های کربناته منطقه مورد پژوهش به رمپ داخلی نسبت داده شدند

وجود دارد. در برش شهرک صنعتی پدیده نئومورفیسم شدت بیشتری دارد. این میکروفاسیس متعلق به RMF 26 و کمریندرخسارهای بخش پشتی سدا واقع در رمپ داخلی است (شکل ۶).

B3: گرینستون اثید، پلوئید و بايوکلاستدار

در این میکروفاسیس اثیدها به صورت Micritic ooids Half-moon ooids هستند و ۳۰-۴۰ درصد مقطع نازک را در بر می‌گیرند. هسته اغلب اثیدها را میلیولیدها تشکیل می‌دهند. پلوئیدها ۲۰ درصد و اینترالاستها پنج درصد مقطع را در بر می‌گیرند. در این میکروفاسیس ۱۰-۱۵ درصد ذرات را قطعات فسیلی تشکیل می‌دهند که شامل فرامینیفرهای بنتیک (بیشتر میلیولیدها) و جلبک‌ها می‌شوند و اغلب به صورت کورتونید وجود دارند (شکل ۴-۲). این میکروفاسیس در دو برش چاچول و شهرک صنعتی وجود دارد. در برش شهرک صنعتی اثیدها فراوانی بیشتری دارند و از اثیدهای برش چاچول کمی بزرگ‌تر هستند. اثیدها در مکان‌های با عملکرد شدید و مداوم امواج و جریانات تشکیل می‌شوند (آدابی، ۱۳۹۰). این میکروفاسیس متعلق به RMF 29 و کمریندرخسارهای سد^۲ واقع در رمپ داخلی است.

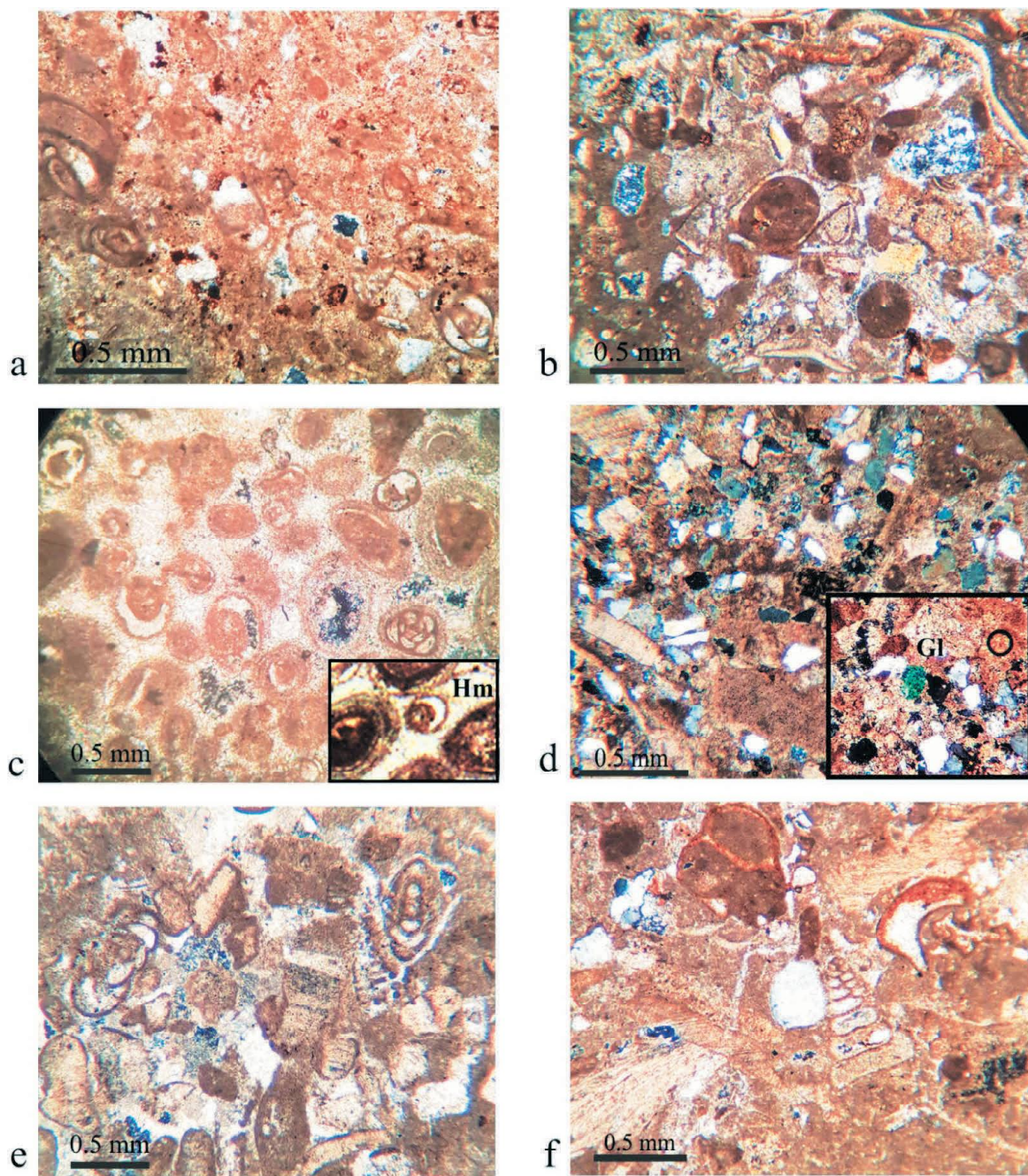
B4: وکستون بايوکلاستدار ماسه‌ای گلوکونیت‌دار

در این میکروفاسیس قطعات فسیلی اغلب شامل قطعات رو دیستی، فرامینیفرهای بنتیک، جلبک، خرده‌های حمل شده بریوزوئر و استراکد هستند که ۱۰-۲۰ درصد این میکروفاسیس را دربرمی‌گیرند. پلوئیدها هم پنج درصد این میکروفاسیس را تشکیل می‌دهند. ذرات آواری در حد ماسه میکروفاسیس را تشکیل می‌دهند. ذرات آواری در حد ماسه که بیشتر کوارتز هستند، ۳۰-۴۵ درصد نمونه را فرا می‌گیرند. در این میکروفاسیس مقدار بیش از یک درصد گلاکونیت نیز مشاهده می‌شود (شکل ۴-۴). این میکروفاسیس در دو برش مزار و بهاباد وجود دارد و متعلق به RMF 18 و کمریندرخسارهای کanal جزر و مدی تا دریای باز کم عمق است (Hegab et al., 2016; Bansal et al., 2019).

B5: گرینستون بايوکلاست و اینترالاستدار

قطعات فسیلی در این میکروفاسیس اغلب شامل قطعات رو دیستی به صورت کورتونید، فرامینیفرهای بنتیک و جلبک‌ها

1. Leeward shoal
2. Shoal
3. Seaward shoal
4. Platform- margin reefs

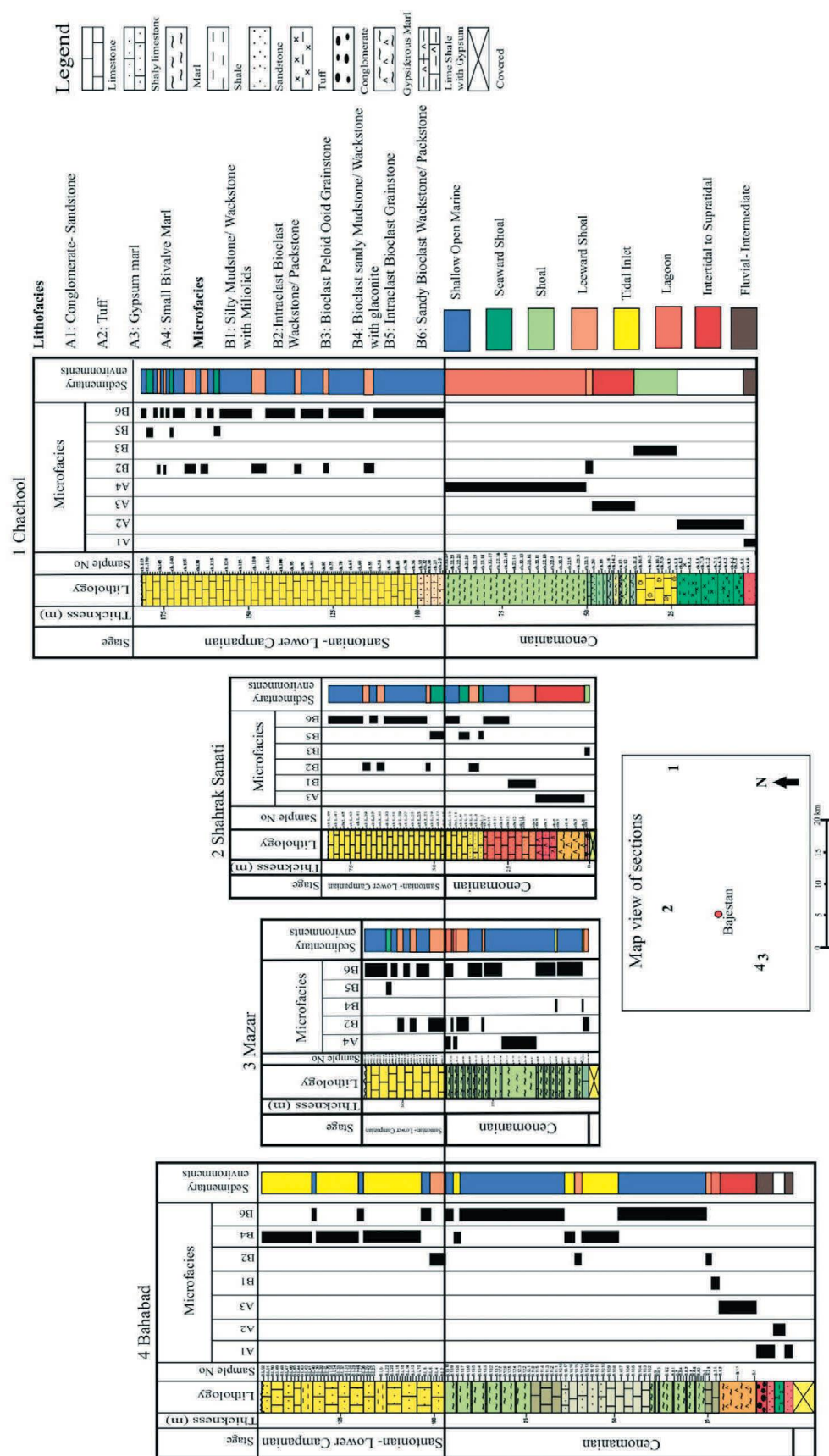


شکل ۴. میکروفاسیس‌های شناسایی شده در برش‌های مورد مطالعه، (a) وکستون/مادستون میلیولیدار سیلیسی (B1)، (b) وکستون/پکستون باپوکلاست، اینتراکلاستدار (B2)، (c) گرینستون اثید، پلوئید و باپوکلاستدار، (B3)، (d) وکستون باپوکلاستدار ماسه‌ای گلوكونیت‌دار (B4)، (e) گرینستون باپوکلاست و اینتراکلاستدار (B5)، (f) وکستون/پکستون باپوکلاستدار ماسه‌ای (B6)

شد. در برش بهاباد نهشته‌های سیلیسی آواری پس از لایه‌های آذرآواری با ضخامت کم هنوز ادامه دارند و بارخساره سوپراتیدال (مارن ژیپس‌دار) دنبال می‌شوند و در ادامه به آهک‌های بخش‌های مختلف رمپ داخلی کربناته تبدیل می‌شود (شکل ۵).

(شکل ۶). (Hosseini et al., 2017) نیز در نگاه کلی به محیط رسوی برش چاچول، محیط رمپ کربناته را برای این نهشته‌ها پیشنهاد کردند.

در دو برش چاچول و بهاباد در قاعده برش‌ها، نهشته‌های سیلیسی آواری (ماسه‌سنگ کنگلومرازی) و نیز توفی مشاهده



شکل ۵. ستون چینه‌شناسی، میکروفاسیس و محیط رسوبی نهشته‌های کرتاسه بالای در برش‌های مورد مطالعه

مختلف رمپ داخلی دنبال می‌شوند (شکل ۵).

در برش چاچول بروی نهشته‌های سیلیسی آواری قاعده برش، واحد توفی قرار دارد. این واحد با میکروفاوئیس‌های سد، سوپراتایdal و لاغون دنبال می‌شوند (شکل ۵).

به طورکلی در هر چهار برش در بخش پایینی نهشته‌ها (سنومانین) یک روند افزایش ملایم عمق دیده می‌شود. دو برش بهاباد و برش مزار که ویش عمق مشابهی دارند و نسبت به برش‌های شهرک صنعتی و چاچول عمق بیشتری را نشان می‌دهند. دو برش اخیر با شرایط عمق مشابه در امتداد خط ساحل که کم‌ویش شرقی- غربی (شرق، شمال شرق- غرب، جنوب غرب) است، قرار دارند (شکل ۶).

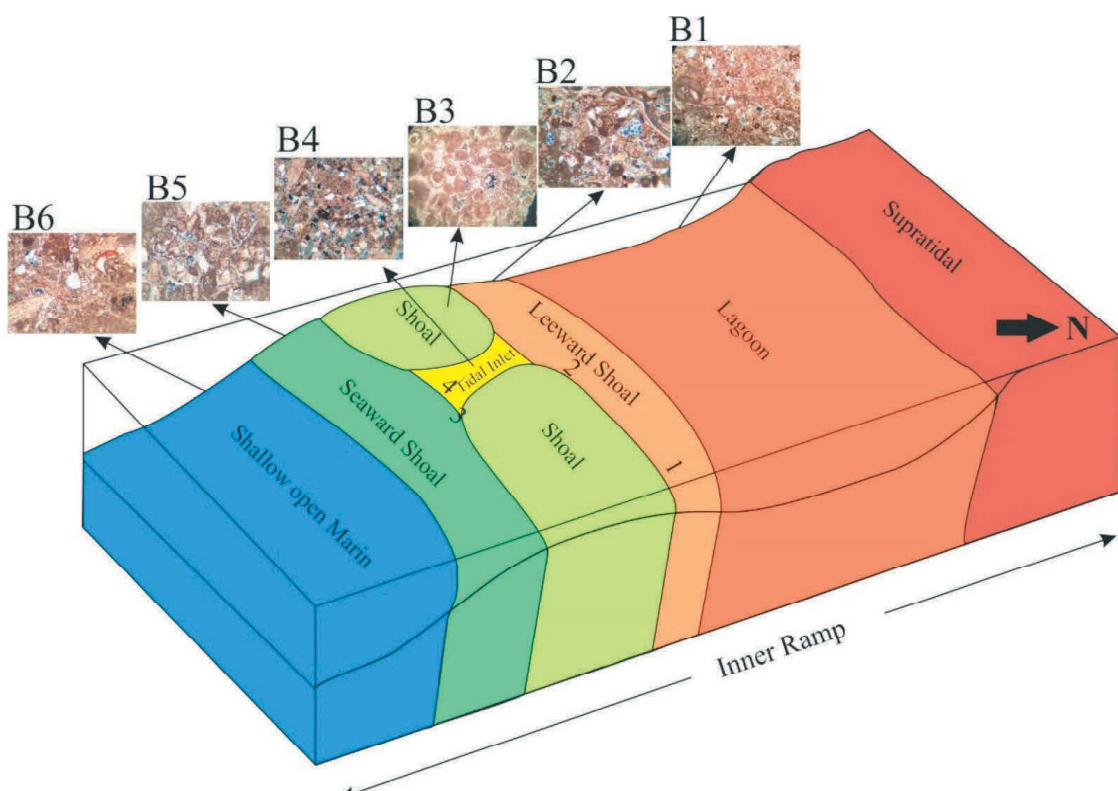
بعد از سانتونین یکنواختی در رخسارهای دیده می‌شود که البته نسبت به سنومانین عمیق‌تر و بیشتر مرتبط با دریایی باز کم‌عمق هستند.

علی‌رغم نزدیکی دو برش بهاباد و مزار و با توجه به تفاوت فاحش لیتولوژی برش بهاباد (در صد بالای ماسه) به خصوص بعد از سانتونین، موقعیت نزدیک به کanal جزو مدی برای این برش پیشنهاد می‌شود.

باتوجه به ماسه‌ای شدن بسیاری از رخسارهای کربناته در بدنۀ اصلی نهشته‌های کربناته کرتاسه در منطقه بجستان، به نظر می‌رسد که فعالیت‌های زمین‌ساختی مرتبط با گسل‌های پی‌سنگی در ورود آواری‌ها به حوضه دخیل بوده‌اند. همچنین با توجه به این‌که نهشت ماسه‌سنگ‌ها در برش بهاباد پس از رسویگذاری واحد آذرآواری هنوز اندکی ادامه دارد و نیز نزدیکی این برش به گسل‌های پی‌سنگی منطقه (به خصوص گسل نایبند و محل تلاقي گسل نایبند و گسل کلمرد)، فعالیت این گسل‌ها به عنوان کنترل‌کننده اصلی ورود رسوی آواری به حوضه تایید می‌شود (شکل ۲).

در برش مزار قاعده برش در زیر رسویات دشت از نظر پنهان است اما در ادامه واحد مارنی با میان لایه‌های آهکی وجود دارد که بیشتر این واحد به جزء خامت کم مارن بخش انتهایی که متعلق به لاغون می‌باشد به محیط سد و دریایی باز کم‌عمق تعلق دارند (شکل ۵).

در برش شهرک صنعتی هم قاعده برش در زیر رسویات دشت مدفون است و شروع برش با آهک‌های اولیتی است که با مارن ژیپس‌دار (سوپراتایdal) و سپس آهک‌های بخش‌های



شکل ۶. مدل رسویی منطقه مورد مطالعه، ۱) برش شهرک صنعتی، ۲) برش چاچول، ۳) برش مزار، ۴) برش بهاباد

نتیجه‌گیری

- امتداد خط ساحلی شرق-شمال شرق و غرب-جنوب غرب قرار داشتند.
- در منطقه بجستان، دریای سانتونین عمق بیشتری نسبت به دریای سنومانین داشته است.
- وجود درصد بیشتر ماسه در بدنه اصلی نهشته‌های کربناته در برش بهاباد، مرتبط با نزدیکی بیشتر این برش به گسل‌های بی‌سنگی منطقه (به خصوص گسل نایبند و محل تلاقی گسل نایبند و گسل کلمرد) می‌باشد (شکل ۲).
- در قاعده نهشته‌های کرتاسه بالای منطقه بجستان واحدهای سیلیسی آواری، آذرآواری، مارن ژیپس‌دار بیرون زدگی دارد که واحد سیلیسی آواری (واحد کنگلومرا- ماسه‌سنگ) به محیط رودخانه‌ای تا حد واسطه واحد مارن ژیپس دار به محیط سوپرایdal- اینترتایدال تعلق دارد. واحد آذرآواری با توجه به موقعیت چینه‌شناسی در برش‌های چاچول و بهاباد و تعداد اندک و شکسته شده قطعات فسیلی، در محیط دریایی نهشته شده است.
- واحد مارن حاوی دوکفهای در دو برش بهاباد و چاچول دیده می‌شود. در برش بهاباد با توجه به میان لایه‌های آهکی متعلق به دریای باز کم‌عمق و کanal جزر و مدبی، درصد بالای روآیست و خاریوست و میزان کمتر دوکفهای به دریایی باز کم‌عمق و در برش چاچول با توجه به مجاورت با واحدهای شیلی- ماسه‌ای ژیپس دار و افزایش چشمگیر دوکفهای و کاهش خاریوست به لاغون نسبت داده شدند.
- نهشته‌های کربناته کرتاسه بالای در منطقه مورد مطالعه شامل شش میکروفاسیس کربناته مربوط به سه کمربند رخسارهای لاغون، سد و دریای باز کم‌عمق واقع در رمپ داخلی هستند.
- رخسارهای مرتبط با محیط سدی در چهار زیر محیط پشت سد، سد، جلوی سد و کanal جزر و مدبی تشکیل شده‌اند.
- توالی رسوبات سنومانین در برش‌های مورد مطالعه روند عمیق شونده ملایم و تدریجی را نشان می‌دهند.
- توالی رسوبات سنومانین در دو برش بهاباد و مزار نسبت به دو برش شهرک صنعتی و چاچول از عمق بیشتری برخوردار بودند.
- برش بهاباد به خصوص در زمان بعد از سانتونین، با توجه به وجود درصد قابل ملاحظه ماسه در اکثر لایه‌های سنگ‌آهک، موقعیت نزدیکتری نسبت به کanal جزر و مدبی داشته است.
- برش چاچول و برش شهرک صنعتی در کرتاسه بالای در

منابع

- آدابی، م. ح.، ۱۳۹۰. ژئوشیمی رسوبی. انتشارات آرین زمین، ۵۰۳.
- آقانباتی، ع.، ۱۳۸۵. زمین‌شناسی ایران. سازمان زمین‌شناسی و اکتشاف معدنی کشور، ۵۸۶.
- پورلطیفی، ع.، ۱۳۸۱. نقشه زمین‌شناسی ۱:۱۰۰۰۰۰۰۱؛ فردوس، سازمان زمین‌شناسی و اکتشاف معدنی کشور.
- عاشوری، ع.، کریمپور، م. ح. و سعادت، س.، ۱۳۸۶. سازمان زمین‌شناسی و اکتشافات معدنی کشور نقشه زمین‌شناسی ۱:۱۰۰۰۰۰۱؛ بجستان.
- موسسه جغرافیایی و کارتوگرافی گیتاشناسی، ۱۳۹۸. نقشه ۱:۱۰۰۰۰۰۰ راههای ایران.
- Assadi, S. and Kolahdani, S., 2014. Tectono-magmatic evolution of Lut Block eastern Iran, A model for spatial localization of porphyry Cu mineralization. Journal of Novel Applied Sciences, 3, 9, 1058-1069.
- Bansal, U., Banerjee, S., Pande, K. and Ruidas, D. K., 2019, Unusual seawater composition of Late Cretaceous Tethys imprinted in glauconite of Narmada basin, Central India. Published online by Cambridge University, 233- 247.
- Dickson, J. A. D., 1965. A modified staining technique for carbonate in thin section. Nature, 205, 587.
- Dunham, R., 1962. Classification of carbonate rocks according to depositional texture.

- In: Classification of Carbonate Rocks. Journal of American Association Petroleum Geology, 1, 121.
- Flugel, E., 2010. Microfacies Analysis of Limestones, Analysis Interpretational Application. Springer- Verlag, 976.
 - Hegab, O. A., Serry, M. A., Anan. T. I. and El- Wahed, A. G., 2016. Facies analysis, Glauconite distribution and sequence stratigraphy of the Middle Eocene Qarara Formation, El- Minya area, Egypt. Egyptian Journal of Basic and Applied, 3, 1, 71- 87.
 - Hosseini, S. H., Vahidinia, M., Najafi, M. and Mousavi Harami, S. R., 2017. Biostratigraphy, depositional environment and sequence stratigraphy of Late Cretaceous clastic-evaporite-carbonate deposits, east of Central Iran, Bajestan, Journal of Himalayan Earth Sciences, 50, 1A, 41- 56
 - Miall, A. D., 2000. Principle of Sedimentary Basin Analysis, third edition, Springer- Verlag, 319.
 - Nichols, G., 2009. Sedimentology and Stratigraphy, Blackwell Publishing, 432.
 - Saadat, S. and Stern, C., 2016. Distribution and geochemical variations among paleogene volcanic rocks from the north-central Lut block, Eastern Iran, Iranian Journal of Earth Sciences, 8, 1-24.
 - Stoklin, J. and Nabavi, M. H., 1973. Tectonic Map of Iran 1: 2500000. Geological Survey of Iran.
 - Tucker, M. E., 2001. Sedimentary Petrology: An introduction to the origin of sedimentary rock. Blackwell Science, 262.